河川結氷時における新たな流量推定手法の開発

吉川 泰弘1・平井 康幸1

1土木研究所 寒地土木研究所 寒地河川チーム (〒062-8602 札幌市豊平区平岸1条3丁目1-34)

河川結氷時の流量は、渇水流量(年間を通じて355日はこれを下回らない流量)を記録することが多く、年間の水資源計画を策定する際には重要な資料となる。本研究の課題は、河川結氷時の流量を推定する新たな手法を開発し、本手法を現場へ適用することである。本研究では、詳細な現地観測を実施し、これらの観測データを用いて検討を行い、河川結氷時の流量推定手法を開発した。本手法は現行の観測資料のみで流量を推定することが可能であり、推定した流量の精度は従来手法と比べて高いことを示した。

キーワード 結氷河川,流量推定手法,北海道

1. はじめに

寒冷地の河川は、冬期間の気温の低下によって結氷する.この結氷期間は、北海道では12月下旬から4月上旬の約100日である.河川結氷時の流量は、年間を通した水資源計画における正常流量(流水の正常な機能を維持するために必要な流量)を決定するための重要な基礎資料となる.また、今後、気候変動により冬期間の流量が増減する場合には、今よりも増して河川結氷時の流量を精度よく推定することが望まれている.

しかし、河川結氷時は**図-1**に示すように河氷の影響によって開水時で得られる水位と流量の関係(*HQ*式)は成り立たず、一方で、河氷が流水へ与える影響については十分には解明されていない。このため、河川結氷時の流量を連続的に推定する手法は、河氷が流水へ与える影響を考慮していない従来の手法はあるものの推定精度が低く、現在、現場への適用には至っていない。

本研究は、河川結氷時における流量推定手法の開発を目的として、河川結氷時において詳細な現地観測を実施し、これらの観測データを検討資料として、コスト低減の観点から、追加観測なしに現行の観測資料のみを用いる流量推定手法を開発した。さらに、本手法の現場への適用を念頭に置き、本手法と従来手法の推定流量の精度比較を行い、本手法の利点と欠点を明確にした。

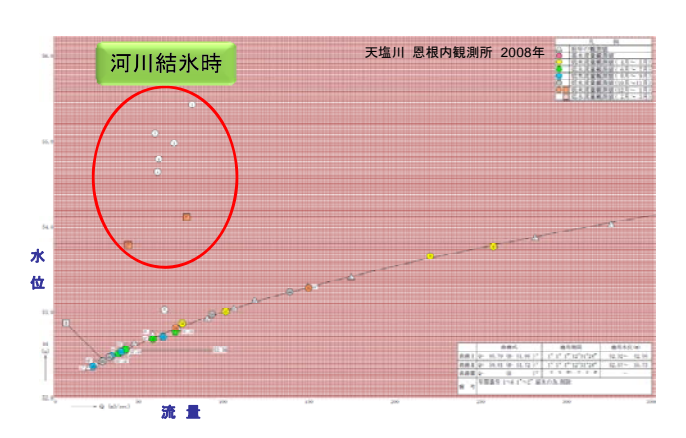
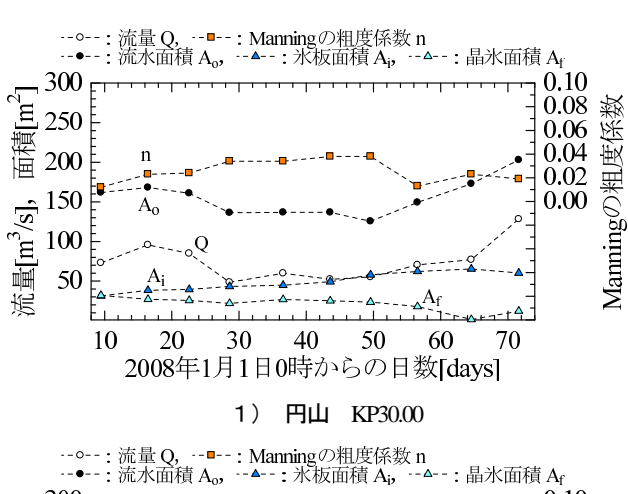


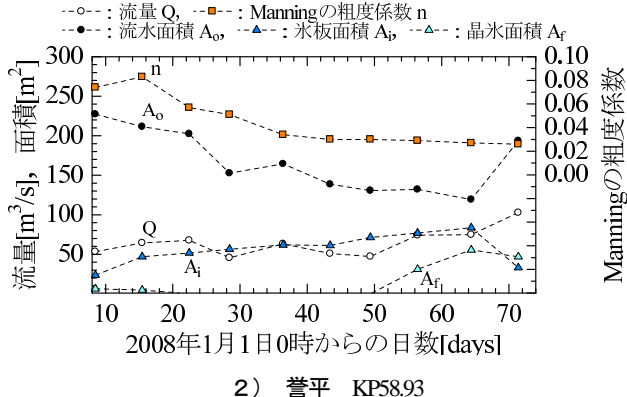
図-1 寒冷地河川における水位と流量の関係 (提供:北海道開発局)

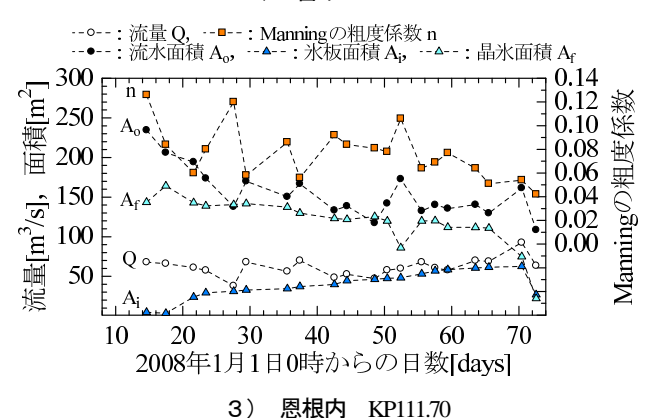
2. 現地観測

北海道北部に位置する天塩川(流路延長256km,流域面積5,590km³)を対象に、観測期間を2008年1月から3月として、円山(まるやま)観測所 KP30.00、天塩川の基準地点である誉平(ぽんぴら)観測所 KP58.93、恩根内(おんねない)観測所 KP111.70の3地点で水位と流量の現地観測を実施した。観測期間中の3地点の結氷状況は、河川水面が全て河氷で覆われる完全結氷であった。なお、恩根内は、円山および誉平に比べて晶氷が多く滞留する地点である。本研究では、結氷河川における河氷を、硬い氷板(Ice Sheet)と水面および氷板下に存在する軟らかい晶氷(Frazil、Frazil Slush)に大別して検討しており、KPとはキロポストの略で河口からの距離kmである。なお、晶氷とはシャーベット状の氷であり、現場においてモロミと呼称されている。

現地観測から得られた観測流量 $Q[m^3k]$,流水面積 $A_o[m^2]$, 氷板面積 $A_i[m^2]$, 晶氷面積 $A_f[m^2]$ およびManningの粗度係数 $n[s/m^{13}]$ を図-2に示す。図-2より,氷板面積 A_i は各地点で時間経過に伴い増加しているが,晶氷面積 A_j は地点により時間的な変動が異なる。Manningの粗度係数について,円山では0.012から0.038の範囲で推移しているのに対して,誉平では0.026から0.083の範囲で時間経過に伴い小さくなっている。恩根内は0.126から0.042の範囲であり,その変動は誉平同様に時間経過に伴い小さくなっているが,誉平に比べて上下に値が変動している。今回の詳細な現地観測結果から,地点によって結氷状況および水理現象が異なることが分かる。







図ー2 流量,流水面積,氷板面積,晶氷面積, Manningの粗度係数の経時変化

3. 河川結氷時の流量推定式の開発

現地観測結果より、河川結氷時の流量は複合的な影響を受けて一義的に決まらないことを受けて、これらの影響を過不足なく考慮した河川結氷時の流量推定式を開発した。この式を式(1)に示す。この式の導出過程については既往研究¹⁾を参照して頂き、本論文では本推定式の具体的な意味について述べる。

$$Q = C B_{w}^{-\frac{1}{4}} A_{o}^{\frac{5}{4}}$$
 (1)

ここで、流量 $Q[m^3k]$, $C[m^{34}k]$, 川幅 $B_w[m]$, 流水面積 $A_o[m^2]$ である。本推定式のC値の変化に対する流量Qと流積 A_o の応答を図-3に示す。図-3より、本推定式は河氷量が増加すると流積 A_o が小さくなり、河氷底面が粗いとC値は小さくなり、流量Qは減少する式である。河川結氷時の横断概念図を図-4に示す。図中において、積雪面積 $A_o[m^2]$ 、水位H[m]、喫水d[m]である。

(1) C値

C値の物理的意味は、河氷底面が流水により融解されて、滑らかになることによる粗度の減少の程度を表している. なお、本推定式は、河床の変動は無視し河床の粗度は一定と考えて、その影響は C値に織り込まれていると仮定している. C値は、小さいほど河氷の影響によって流れずらく流量は小さくなる.

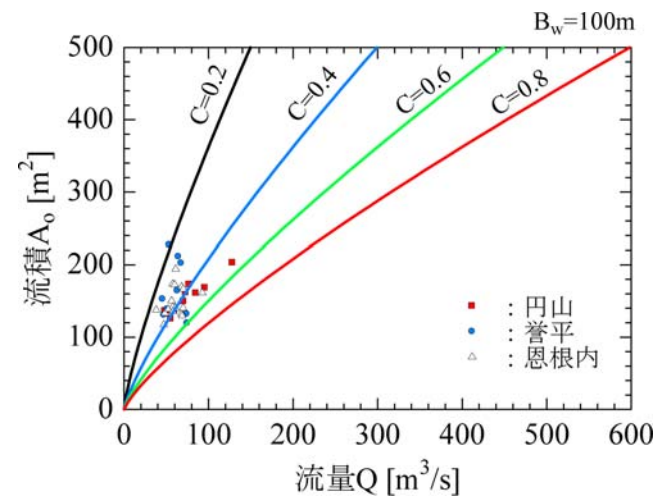


図-3 流量推定式のC値の変化に対する流量 Qと流積 A_o

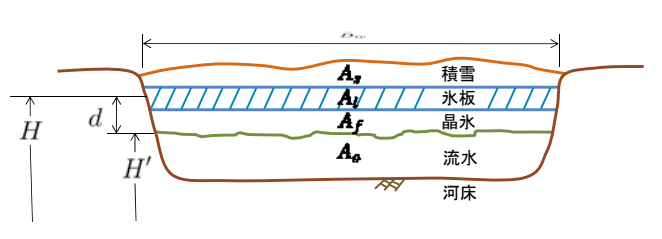


図-4 河川結氷時の横断概要図

(2) 川幅 B。

本推定式の川幅 B_wは,定期流量観測で得られる流量 測定図における区間距離の合計であり,横断面内におい て河川水が存在する左岸側の測線から右岸側の測線まで の距離である.

(3) 流水面積 A。

本推定式の流水面積 A_o は、流量測定図における区分断面積の合計であり、河川水が流れる面積である。なお、晶氷面積 $A_f[m^2]$ は、流量測定図のモロミ面積の合計であり、氷板面積 $A_i[m^2]$ は、流量測定図の水面上氷面積と水面下氷面積の合計であり、積雪面積 $A_s[m^2]$ は、流量測定図の雪面積の合計である。

4. 河川結氷時の流量推定手法の精度比較

河川結氷時の流量推定手法の現場への適用を念頭に、 従来手法のAHを用いる手法、従来手法のK値を用いる 手法²、本手法のC値を用いる手法の3つの手法において、 現行の観測資料のみのデータを用いて流量を推定し、真値を本研究で得られた観測流量として、各手法における 推定流量と観測流量の精度比較を行った。

流量推定に必要な入力データは、月3回の間隔で定期 的に実施されている流量観測から得られる流量、積雪面 積、氷板面積、晶氷面積、川幅、水位とし、連続的な水 位データは、国土交通省の水文水質データベースから得 られる1時間毎のデータとした。

(1) 流量推定手法の手順

各手法における流量推定手法の実際の手順を記述する.

a) *∆H*を用いる手法

- 1) 開水時のHQ式を導出する.
- 2) 結氷時の観測流量Qを開水時のHQ式に代入して相当水位H'を求める.
- 3) 結氷時の観測水位Hと相当水位H'との差 ΔH (=H-H)を求め、観測を実施していない日の ΔH は、その日を挟む観測日の値を用いて線形補完により求める。
- 4) 結氷時の連続水位Hから ΔH を差し引いた値HをBの式に代入して、結氷時の流量Dを推定する.

b) K値を用いる手法

平山 0 によるK値を用いる手法について解説する. 結 氷時(添字w) と開水時(添字s) において, Manning式 を適用すると、式(2)および式(3)が与えられる.

$$Q_{w} = \frac{A_{w}}{n_{0}} R_{w}^{2/3} I_{w}^{1/2}$$
 (2)

$$Q_s = \frac{A_s}{n_1} R_s^{2/3} I_s^{1/2}$$
(3)

 n_0 , n_1 , I_w , I_s は一定値, $Q_w = Q_s$ と両者の流量が等しいと仮定すると、式(4)が導かれる.

$$A_s R_s^{2/3} = \frac{1}{K} A_w R_w^{2/3}$$
 (4)

式(4)の右辺の値が連続的に与えられれば、得られる 左辺の値から相当水位H'を算出し、この相当水位H'を 開水時のHQ 式に代入して流量を推定することができる.

- 開水時の HQ 式、開水時の HA 式、開水時の H-A,R,²³式を導出する.
- 2) 結氷時の定期観測データから $A_{\rm w}R_{\rm w}^{23}$ を得る.
- 3) 結氷時の観測流量 Qを HQ 式に代入して相当水位 H'を求め,H- $A_sR_s^{23}$ 式に相当水位 H'を代入して $A_sR_s^{23}$ を求める.
- 4) 式(4)からK値を得て、喫水 dと川幅 B_w は観測データから得る、観測を実施していない日の K, d, B_w は、その日を挟む観測日の値を用いて線形補完により求める。
- 5) 結氷時の連続水位 Hから喫水 dを差し引いた値 H'を HA式に代入して A_w を求め、径深は A_w 、 B_w から求める. これらの値から A_w R $_w$ ²³を求める.
- 6) 式(4)に $A_w R_w^{23}$ と K値を代入して $A_s R_s^{23}$ を求める.
- 7) H- $A_sR_s^{23}$ 式に $A_sR_s^{23}$ を代入して相当水位 H'を求め,HQ式に相当水位 H'を代入して,結氷時の流量 Qを推定する.

c) C値を用いる手法(本手法)

- 開水時のHA式(水位Hと流積Aの関係式)を横 断測量データから導出する.
- 2) 結氷時の定期観測データから、喫水d、C値、川幅 B_w を得る。観測を実施していない日のd、C、 B_w は、その日を挟む観測日の値を用いて線形補完により求める。
- 3) 結氷時の連続水位Hから喫水dを差し引いた値H'をHA式に代入してA_oを求めて、式(1)にC、B_w、A_oを代入して結氷時の流量Qを推定する.

・HA 式と喫水 d の導出について

HA式の導出は、開水時の横断測量データを用いて、 図-5に示す水位H'と流水面積 A_o の関係式(5)を導く、 河川結氷時の水位Hを式(6)に代入して、相当水位H'を 求め、このH'を HA 式に代入し A_o を算出する。 なお、 河川結氷時の水位H' は河氷底面の横断面平均標高となり、 喫水H' は式(7)より算出H3した。

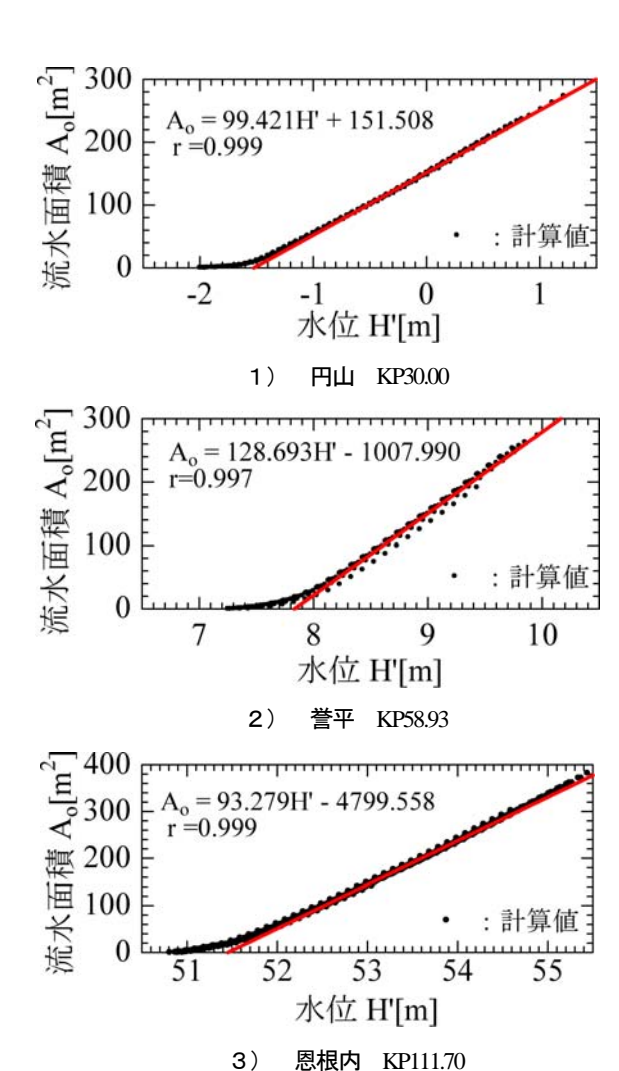


図-5 開水時における水位 H と流水面積 A_o

$$\mathbf{A}_{o} = \mathbf{f}(\mathbf{H}') \tag{5}$$

$$H' = H - d$$

$$d = \frac{\rho_s A_s + \rho_i A_i + \rho_f A_f}{\rho_w B_w}$$
(6)

ここで、 ρ [kg/m³]は密度であり、水の密度 ρ_w = 1000.00、雪の密度 ρ_s = 100.00、氷の密度 ρ_i = 917.40、晶氷の密度 ρ_f = 950.38とした³.

C値の算出について

定期観測データの流量Q,川幅 B_w ,流水面積 A_o を式(8)に代入してC値を算出する.

$$C = \frac{Q}{B_{w}^{-\frac{1}{4}} A_{o}^{\frac{5}{4}}}$$
 (8)

(2) 推定流量と観測流量

各地点において、各手法の推定流量、推定に用いた各値、観測流量を図ー6、7、8に示す。推定に用いた観測データの観測日は、図中の四角黒塗りで示した。図ー6、7、8より、観測期間中の Bwの経時変化は小さく、d、4H、C、Kの経時変化は各地点毎に異なる。また、3手法の推定流量は、観測流量の経時変化を定性的に良く再現していることが分かる。なお、流量の日変動は上流の岩尾内ダムの放流量の影響であり、図ー8に岩尾内ダムの放流量の経時変化を示す。

△Hを用いる手法の推定流量は、水位と△Hから算出されるため、水位変動が直接的に流量変動となるため、他の手法と比べて、推定流量の変動が大きいと考えられる。また、図−6の K値を用いる手法の推定流量は、 K値が1よりも小さく変化が小さいため、式(4)より結氷時の流水面積変動が直接的に流量変動となり、 C値を用いる手法と比べて、推定流量の変動が大きいと考えられる。

(3) 誤差ヒストグラム

推定流量の観測流量に対する誤差ヒストグラムを**図**-10に示す. 誤差評価に用いた観測データは, 本研究で得られた観測流量の全40データの内, 定期的な流量観測で河川が結氷している期間内として36データとした.

図ー10の \pm 5%の誤差内でみると、 ΔH を用いる手法 (ΔH 法) は全36データの内33%の12データが入り、K 値を用いる手法 (K値法) は全36データの内36%の13データが入り、C値を用いる手法 (C値法) は全36データの内36%の13データが入り、どの手法も同程度の精度で流量を推定している.

図ー10の ± 10 %の誤差内でみると、 ΔH 法は全36データの内58%の21データが入り、K値法は全36データの内50%の18データが入り、C値法は全36データの内58%の21データが入る。 ΔH 法とC値法は、K値法と比べて推定精度が高い。

図ー 10 ± 20 %の誤差内でみると、 ΔH 法は全36データの内81%の29データが入り、K値法は全36データの内81%の29データが入り、C値法は全36データの内92%の33データが入る。C値法は他の手法と比べて推定精度が高い。

本研究の新たな流量推定手法(C値法)は、上記の精度で観測流量を推定することが可能であり、今回の検討においては、本手法であるは従来手法よりも推定精度が高い.本研究の流量推定式の精度は、測定した連続水位データ、式(7)の喫水dの推定式、HA式の精度に影響を受ける。また、d、C、Bwの値を線形補完して与える期間において、河氷量の変化、河氷の構成材料の変化、晶氷の滞留および掃流、水温変化が起こる場合には、推定流量はその影響を受ける。

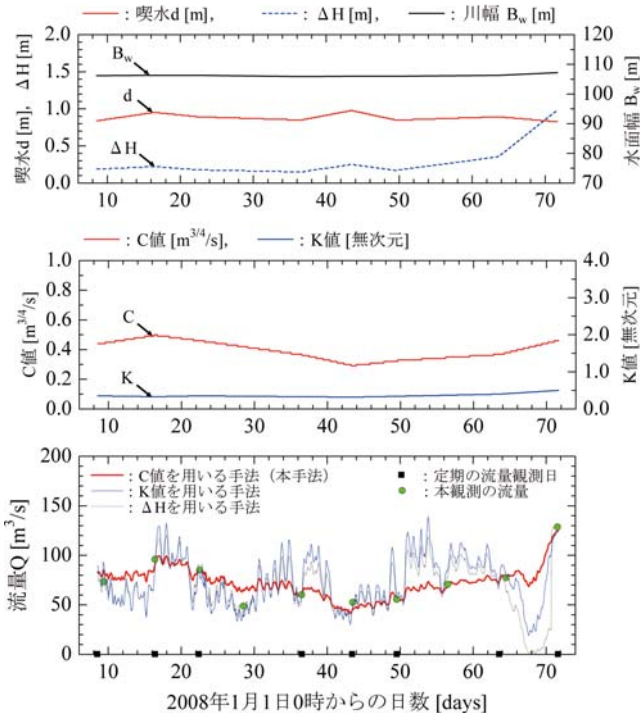


図-6 円山(KP30.00)における 本手法と従来手法の推定流量と観測流量

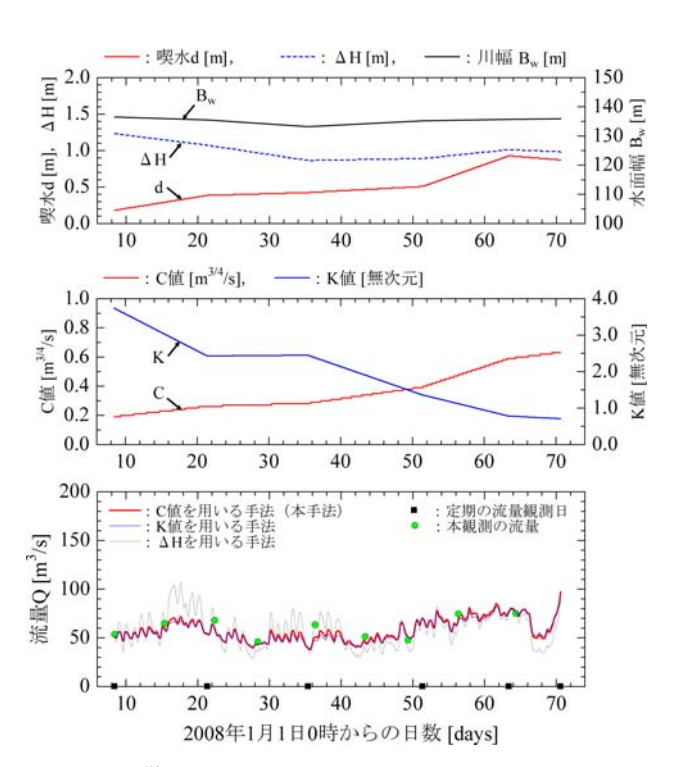


図-7 誉平(KP58.93) における 本手法と従来手法の推定流量と観測流量

(4) 本手法の利点と欠点

本手法の利点として、例えば、K値は開水時の粗度係数、エネルギー勾配の関数であり、結氷以外の影響を受けるため、その変動要因を特定するのが困難であるが、本手法は結氷時のみの観測データを用いており、流量の推定手法が明確となっているため、推定流量と観測流量

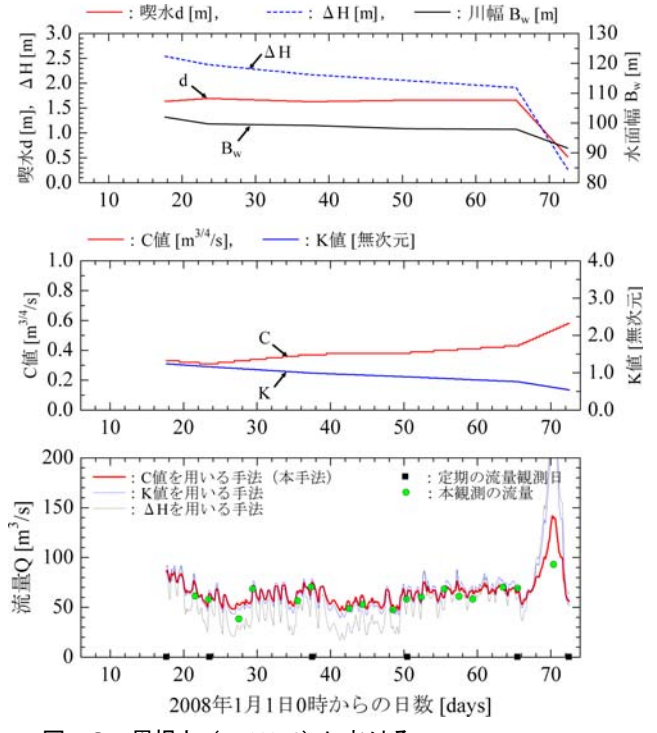


図-8 恩根内 (KP111.70) における 本手法と従来手法の推定流量と観測流量

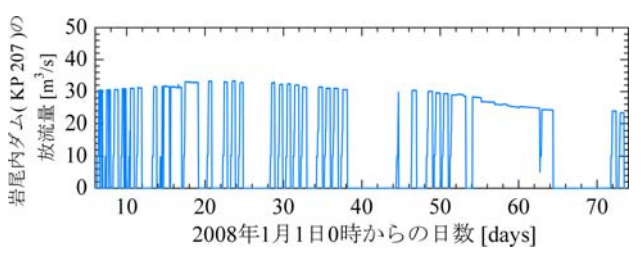


図-9 岩尾内ダムの放流量の経時変化

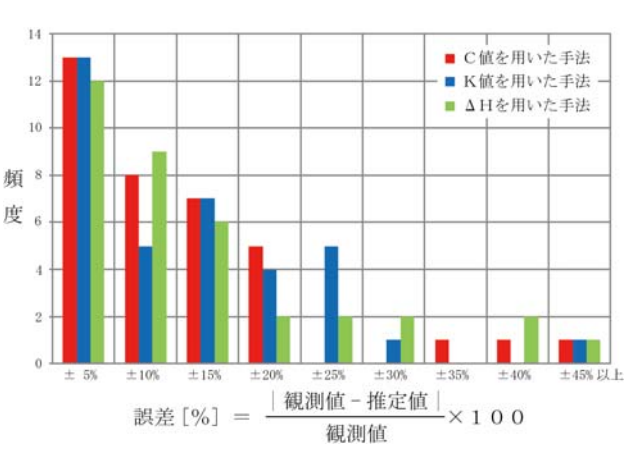


図-10 推定流量の誤差ヒストグラム(全36データ)

が一致しない場合においては、その原因についての考察 が可能であることである.

本手法の欠点としては、河床変動を考慮していないため、その影響を見積れないこと、喫水 d を式(7)を用いて算出する際の積雪密度、氷板密度、晶氷密度は、本研究では定数として与えているが、地点および時間によっ

て、その値が異なることが予見されるため、各値の与え方については検討が必要であることである.

本研究は、河川結氷時を対象としているため、開水時から結氷時の初期結氷期間 (Freeze-up period)、結氷時から解氷時の解氷期間 (Break-up period)の流量を推定するためには、さらに検討を要する.この課題の解決のためには、新たな現地観測および観測データの解析を行う必要がある.また、本検討は、1河川、1シーズンを対象としているため、本手法の汎用性、有効性、適用条件を明らかにするためには、本手法を広く他の現場へ適用し検討を重ねる必要がある.

5. まとめ

本研究の成果として、河川結氷時の流量を流水面積 A_o 、水面幅 B_w 、C値から連続的に推定する新たな手法を開発した。この手法は、開水時のHQ 式に依らず晶氷(モロミ)が滞留している地点においても適用可能であり、現行の観測資料のみで流量を推定することが可能で

ある. 今回の検討において,本手法は従来従来手法に比べて推定精度が高く,±20%誤差内に全36データの内,92%が入ることを示した.

本研究は河川結氷時のみを対象としているものの, 渇水等による被害のない持続的発展が可能な水活用社会の実現に向けた社会的ニーズに応えた技術であり, コスト低減を考慮して現行の観測資料のみで流慮を推定することが可能であり, かつ従来手法と比べて推定精度が高いため, 今後の汎用性が期待される.

参考文献

- 1) 吉川 泰弘, 渡邊 康玄, 早川 博, 平井 康幸:河川結氷時の観 測流量影響要因と新たな流量推定手法, 土木学会, 水工学 論文集, 第54巻, pp.1075-1080, 2010.
- 2) 平山健一:結氷した河川の流れと流量測定(その2), 北 海道広域利水調査会, 利水評論, 第27号, pp.27-55, 1983.
- 3) 吉川泰弘, 渡邊康玄, 早川博, 清治真人: 氷板下における晶氷厚の連続測定, 土木学会, 水工学論文集, 第53巻, pp.1027-1032, 2009.